

Kategorie:Onkologie

Pages in category "Onkologie"

The following 200 pages are in this category, out of 274 total.

(previous page) (next page)

A

- Adenoameloblastom
- Adenom
- Adenom hypofýzy
- Akutní leukémie
- Akutní lymfoblastická leukemie
- Akutní lymfoblastická leukémie
- Akutní myeloidní leukemie
- Ameloblastický fibrom
- Ameloblastom
- Aminopterin
- Anaplastický karcinom štítné žlázy
- Angiofibrom nosohltanu
- Angiogeneze a neovaskularizace (rozcestník)
- Apoptóza
- Astrocytom

B

- Barrettův jícen
- Bazaliom
- Benigní onemocnění prsu
- BI-RADS
- Biologické vlastnosti nádorů
- Biologie nádorového růstu
- Biopsie
- Bloomův syndrom
- Bolest v onkologii
- Bowenova nemoc
- Brachyterapie
- Bronchogenní karcinom
- Bronchogenní karcinom/PGS
- Burkittův lymfom

C

- Cementom
- Cesiové a kobaltové ozařovače
- Charakteristika nádorového bujení
- Chemická karcinogeneze
- Chemoterapeutické režimy
- Chinolony
- Chirurgická léčba v onkologii
- Chondrom
- Chondrosarkom
- Chromozomové aberace v etiologii neoplázií
- Chronická lymfatická leukemie
- Chronická myeloidní leukemie
- Chronické leukemie (rozcestník)
- Cirkulující nádorové buňky
- Cowdenové syndrom
- Cysta choledochu
- Cytostatika

D

- Dabrafenib
- Dermatofibrosarcoma protuberans
- Diety v onkologii
- Diferencovaný karcinom štítné žlázy
- Difúzní velkobuněčný B-lymfom

- Dispenzární péče (onkologie)

E

- Elementy signální transdukce jako terapeutické cíle v onkologii
- Embolizace portální žíly
- Enchondromatóza
- Endoskopická vyšetření v onkologii
- Enterální výživa u onkologických onemocnění GIT
- Ependymom
- Ependymom (patologie)
- Epitelové nádory ústní dutiny
- Ewingův sarkom
- Exces blastů

F

- Familiární adenomatózní polypóza
- Fanconiho anémie
- Febrilní neutropenie
- Feochromocytom
- Filadelfský chromozom
- Folikulární lymfom
- Fyzikální karcinogeneze

G

- Gardnerův syndrom
- Gastrinom
- Gastrointestinální stromální tumor
- Gastrointestinální stromální tumor/PGS
- Genotoxické látky
- Germinální nádory
- Glioblastoma multiforme
- Gliomy mozku

H

- Hemangiom
- Hepatocelulární karcinom
- Hepatosplenomegalie
- Hodgkinův lymfom
- Hyperkalcémie

I

- Imatinib
- Imunitní systém a nádorová onemocnění
- Imunomodulancia
- Incidence nádorů
- Index zdraví prostaty
- Inhibitory proteazomu/2. generace
- Intersticiální plicní procesy
- Intrakraniální metastázy

K

- Kaposiho sarkom
- Karcinoembryonální antigen
- Karcinom
- Karcinom děložního těla
- Karcinom ledviny
- Karcinom močového měchýře
- Karcinom pankreatu
- Karcinom prostaty
- Karcinom prsu u muže
- Karcinom Vaterovy papily
- Karcinom žaludku
- Karcinom žlučníku
- Klasifikace nádorů
- Kobaltové a cesiové ozařovače
- Kolorektální adenom
- Kolorektální karcinom
- Kolorektální karcinom/diagnostika

- Kolorektální karcinom/patologie
- Kolorektální karcinom/PGS
- Kolorektální karcinom/prognóza
- Kolorektální karcinom/screening
- Kolorektální karcinom/staging
- Kolorektální karcinom/symptomatologie
- Kolorektální karcinom/terapie
- Kraniofaryngiom
- Kritéria léčebné odpovědi
- Krukenbergův tumor

L

- Uživatel:L.Hoznauerová/Pískoviště
- Leiomyosarkom
- Leukemie
- Leukostáza
- Lipom
- Lymfangiom
- Lymfatická drenáž prsu
- Lymfomy ústřední nervové soustavy
- Lynchův syndrom
- Léčba jaterních metastáz u kolorektálního karcinomu
- Léčba nádorů orofaryngu
- Léčebná rehabilitace

M

- Maligní nádory skeletu
- Maligní nádory slinných žláz
- Mechanismy vzniku nádorů
- Medulární karcinom štítné žlázy
- Melanocytární nádory
- Melanom
- Meningeomy
- Metaplázie
- Metastatické postižení skeletu
- Metody nukleární medicíny v onkologii
- Metotrexát
- Mezenchymové nádory
- Migrující tromboflebitida
- MKN-O
- Molekulárně-biologická diagnostika v onkologii
- Monoklonální gamapatie neurčeného významu
- Možnosti detekce minimálního reziduálního onemocnění
- Možnosti genové terapie nádorů
- MTOR a inhibitory mTOR
- Multi-drug resistance
- Mutátorové geny, stabilita buněčného genomu
- Myeloidní leukemie (rozcestník)
- Myeloproliferativní choroby
- Myoma uteri
- Myxom

N

- Neepitelové nádory ovaria
- Nehodgkinské maligní lymfomy
- Nejčastější nádorová onemocnění v dětském věku
- Nelsonův syndrom
- Neovaskularizace
- Neuroblastom
- Neuroendokrinní nádory pankreatu
- Nežádoucí účinky cytostatické léčby
- Nitrolební hypertenze/PGS
- Nádorová cytogenetika
- Nádorová epidemiologie
- Nádorové markery
- Nádorové mikroprostředí
- Nádorové registry
- Nádorové stroma jako léčebný cíl
- Nádory
- Nádory baze lební
- Nádory CNS
- Nádory dýchacího

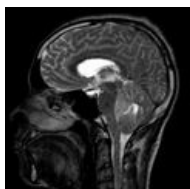
- Nádory ušního
- Nádory epifaryngu
- Nádory epitelové
- Nádory hematogenní
- Nádory jater
- Nádory jícnu
- Nádory kaudy
- Nádory kloubů
- Nádory kůže
- Nádory ledvin
- Nádory mediastina
- Nádory mozečku a IV. komory u dospělých
- Nádory neuroektodermové
- Nádory orofaryngu
- Nádory penisu
- Nádory plic
- Nádory pohybového aparátu
- Nádory prsu
- Nádory s familiárním výskytem
- Nádory slinivky břišní
- Nádory slinných žláz
- Nádory srdce
- Nádory varlat
- Nádory šlach
- Nádory štítné žlázy
- Nádory žaludku
- Nádory žlučodů

O

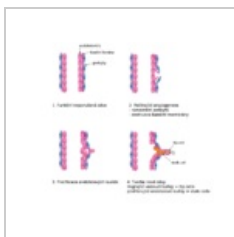
- Obecné principy protinádorové léčby
- (previous page) (next page)

Media in category "Onkologie"

The following 33 files are in this category, out of 33 total.



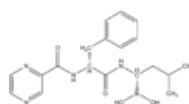
Anaplas mri.jpg
630 × 630; 92 KB



Angiogeneze.svg
512 × 450; 1,014 KB



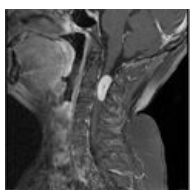
Axial schwannom...
630 × 533; 58 KB



Bortezomib.png
1,271 × 660; 14 KB



Carcinoma breas...
262 × 630; 23 KB



Cervical schwann...
630 × 630; 47 KB



CRK 2.png
2,968 × 1,565; 122 KB



CRK.png
2,480 × 2,110; 132 KB



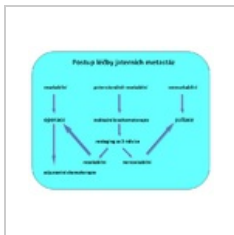
Cysta choledoch...
547 × 763; 53 KB



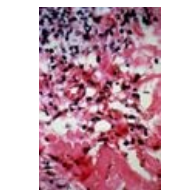
Incidence a mort...
667 × 503; 62 KB



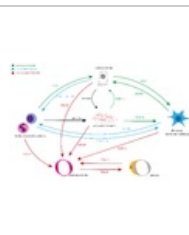
Intradural schwa...
630 × 630; 34 KB



Jaterní meta sché...
704 × 577; 29 KB



Kaposi.jpg
700 × 1,063; 115 KB



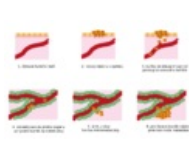
Komunikace v ná...
5,454 × 3,508; 542 KB



Mechanismus ch...
2,968 × 3,308; 168 KB



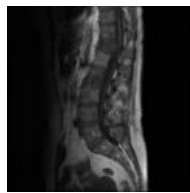
Meta játra.jpg
400 × 320; 79 KB



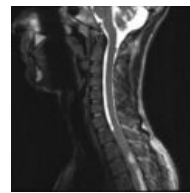
Metastázování.svg
512 × 327; 1.1 MB



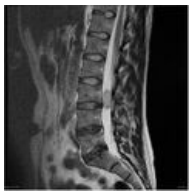
Monitoring n. lar...
800 × 600; 757 KB



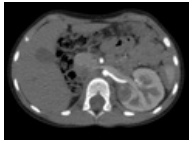
MRI – metastáza ...
630 × 630; 106 KB



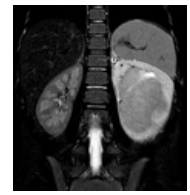
MRI – spinální ast...
630 × 630; 69 KB



Myxo spinal.jpg
630 × 630; 61 KB



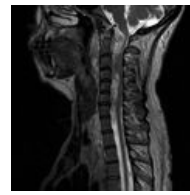
Nefroblastom soli...
715 × 531; 280 KB



Nefroblastom, 6ti...
526 × 556; 265 KB



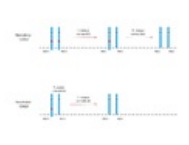
Neuroblastom 1....
635 × 798; 498 KB



Nf-1 multiple neu...
630 × 630; 43 KB



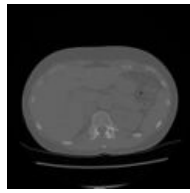
Operace štítné žl...
800 × 600; 872 KB



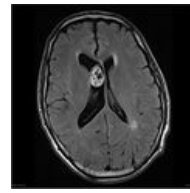
Rb1mutace.png
3,414 × 2,039; 75 KB



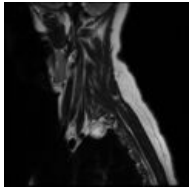
Schéma klasifika...
1,264 × 417; 23 KB



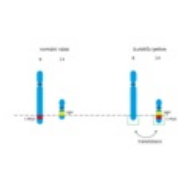
Spinal osteoid os...
630 × 630; 54 KB



Subependymom ...
442 × 442; 24 KB



T2sag intercostal...
630 × 630; 129 KB



Translokace Burk...
512 × 327; 946 KB



Tumor sigma.JPG
348 × 295; 20 KB